

## تحولات ژئومورفولوژیکی پلایای میقان در کواترنر

میر اسدالله حجازی\* - استادیار گروه ژئومورفولوژی، دانشگاه تبریز  
آتنا عسگری - دانشجوی دکتری ژئومورفولوژی، دانشگاه تبریز  
بهاره میرزاخانی - دانشجوی دکتری ژئومورفولوژی، دانشگاه محقق اردبیلی

پذیرش مقاله: ۱۳۹۴/۰۹/۲۵ تأیید نهایی: ۱۳۹۵/۰۵/۱۵

### چکیده

ایران کشوری است که در بخش‌های داخلی آن، شواهد ژئومورفولوژیکی متعددی را از تغییرات اقلیمی به صورت تناوب اقلیم خشک و بارانی دارد. دریاچه میقان، یکی از بسترهاست که این شواهد را به صورت سطوحی از رسوبات آواری و تبخیری حفظ کرده است. این دریاچه، حوضه آبریز خود به مساحت حدود ۵۵۲۸ کیلومترمربع را زهکشی می‌کند و در حال حاضر دارای اقلیمی خشک، با تبخیر بیش از بارش است. شرایط اقلیمی و هم‌چنین شرایط زمین‌شناسی آن سبب شده است که این دریاچه به شکل پلایا تحول یابد. در حالی که بسترها سیلانی اطراف دریاچه، حکایت از اقلیم با بارش بیشتر را در این حوضه، دارد. این پژوهش با هدف شناسایی تغییرات دریاچه میقان انجام‌شده است. از نقشه‌های توپوگرافی ۱:۵۰۰۰۰، مدل رقومی ارتفاع منطقه در مقیاس ۱:۵۰۰۰۰۰ و تصاویر ماهواره‌ای ETM+ و IRSP6، نقشه زمین‌شناسی ۱:۵۰۰۰۰ و مشاهدات میدانی استفاده شده است. تکنیک تحلیل مؤلفه‌های اصلی برای شناسایی سطوح اطراف دریاچه انجام‌شده است و نتایج آنالیز به کمک مشاهدات میدانی و نمونه‌گیری‌های موجود، ارزیابی شده است. نتایج به دست آمده نشان داد که دریاچه میقان در آخرین دوره سرد، باران بیشتری دریافت نموده است و مساحتی معادل ۱۲۹ کیلومترمربع را داشته است. به دلیل وجود کانی‌های تبخیری از جمله کلسیت، ژیپس و هالیت در بستر زمین‌شناسی حوضه و با تغییر اقلیم، کاهش بارش و افزایش تبخیر، دریاچه کوچک‌تر شده و کانی‌های تبخیری بر اساس میزان حلالیت خود رسوب نموده‌اند و سطوح آهکی، گچی و نمکی را در اطراف دریاچه تشکیل داده‌اند و دریاچه میقان به صورت پلایا تحول یافته است. در نشانگر تحول ژئومورفولوژیکی این دریاچه در طول زمان است.

وازگان کلیدی: پلایا، تحولات ژئومورفولوژیکی، دریاچه میقان، PCA

## مقدمه

نزدیک به دوسوم مساحت کشور در مناطق بیابانی قرار گرفته است (امجد یزدان دوست، ۱۳۹۲). پلایا و یا چاله‌ها نیز به عنوان واحدهایی از بیابان وسعت قابل ملاحظه‌ای از ایران را اشغال می‌کند و با توجه به توان اکولوژیکی و اقتصادی آن‌ها می‌طلبید که مورد بررسی و ارزیابی دقیق و جدی قرار گیرند. با توجه به بررسی‌های محقق تعداد تحقیقات در مورد موضوع مذکور در کشور ما در مقایسه با جهان بسیار ناچیز است بررسی رابطه خاک و پوشش گیاهی در حاشیه پلایای طبس نشان داد بین درصد پوشش، بوته‌های گونه گیاهی تاغ و خصوصیات خاک و پوشش معناداری وجود دارد ولی میزان همبستگی بسته به خصوصیات خاک متفاوت است. (مجید کریم پور ریحان، ۱۳۸۴). بررسی بیابان‌زایی و تغییرات اراضی پلایای دامغان با استفاده از داده‌های ماهواره‌ای چند زمانه و چند طیفی بر مبنای روش تلفیق بصری و رقومی انجام شد و اقدام به شناسایی مناطق تغییریافته طی بیست و سه سال و در سه مقطع زمانی نمود. داده‌های رقومی مربوط به سه سنجنده TM و MSS بوده است. بر طبق نتایج به دست آمده در طی ۲۳ سال، ۷۴ درصد تغییرات مربوط به بیابان‌زایی بوده که ۶۸ درصد آن بین سال‌های ۱۹۸۸ تا ۲۰۰۰ میلادی بوده است (علوی پناه و همکاران، ۱۳۸۳). مطالعات رسوب‌شناسی و ژئومورفولوژیکی در حوضه آبریز زنیر<sup>۱</sup> واقع در بخش جنوبی تالاب و نیز به بازسازی ویژگی‌های زمین‌شناسی حوضه اصلی که بخشی از ورودی مدل شبیه‌سازی فرونشست زمین را تشکیل می‌دهد، کمک کرده است (ریزتو و دیگران، ۲۰۰۱). پژوهش بر روی منشأ و چگونگی تکامل و تحول پلایاهای زمین‌های بادرفتی در منطقه نیمه‌خشک تیرا<sup>۲</sup> (حوضه دورو، اسپانیا) بیانگر آن است که پلایاهای موردمطالعه، ناشی از حفاری نهشته‌های آносن و سنگ‌بستر آهکی زیرین هستند (گوتیه رز الورزا و دیگران، ۲۰۰۵). در مطالعه‌ای تحول شرایط هیدرولوژیکی دریاچه پلایای سالادا مدیانا<sup>۳</sup> (شمال شرقی اسپانیا) در طول دوره کواترنر را مورد ارزیابی قرار گرفت و با تجزیه و تحلیل ایزوتوپ پایدار و گردش‌شناسی هسته‌های رسوبی آخرین تحولات رسوب‌گذاری در این حوضه بازسازی شدند (blas و دیگران، ۲۰۰۰). برخی از تحقیقات نیز بیانگر آن هستند که استفاده از فرایین ماهواره‌ای در دریاچه – پلایاهای می‌تواند به تشخیص تغییرات رژیم هیدرولوژیکی از جمله افزایش سطح سیل منطقه کمک زیادی کند (کاستاندا و همکاران، ۲۰۰۵). همچنین در مطالعات، مشاهده گردید که تحولات رسوب‌گذاری یک فرو زمین نیز می‌تواند مورد بررسی قرار گیرد (فوبلی و دیگران، ۲۰۰۸). تجزیه و تحلیل زمینی شرایط توپوگرافی مخروط افکنه‌ها، تشریح سطوح اصلی، رسوب‌شناسی عمومی (تصویف رخساره)، و نوع شبکه زهکشی، بر اهمیت تغییرات آب و هوایی در تحول مخروط افکنه‌های این پلایا در کواترنر تأکید می‌کنند (ورتگا رامیrez، ۲۰۰۴). پژوهشگران خارجی هم چون بروکس (1982)، که به گونه‌ای پلایاهای ایران را موردمطالعه و بررسی قرار داده است. بیشتر<sup>۴</sup> (۲۰۰۵)، مصطفی و بیشتر<sup>۵</sup> (۲۰۰۴) نیز از تحلیل مؤلفه‌های

<sup>1</sup>-Zennier

<sup>2</sup>-Rizzeto and et al

<sup>3</sup>-Tierra

<sup>4</sup>-Gutierrez-Elorza and et al

<sup>5</sup>-SaladaMediana

<sup>6</sup>- Blas and et al

<sup>7</sup>-Castaneda and et al

<sup>8</sup>- Fubelli and et al

<sup>9</sup>- Ortega-Ramirez

<sup>10</sup>-Bishta

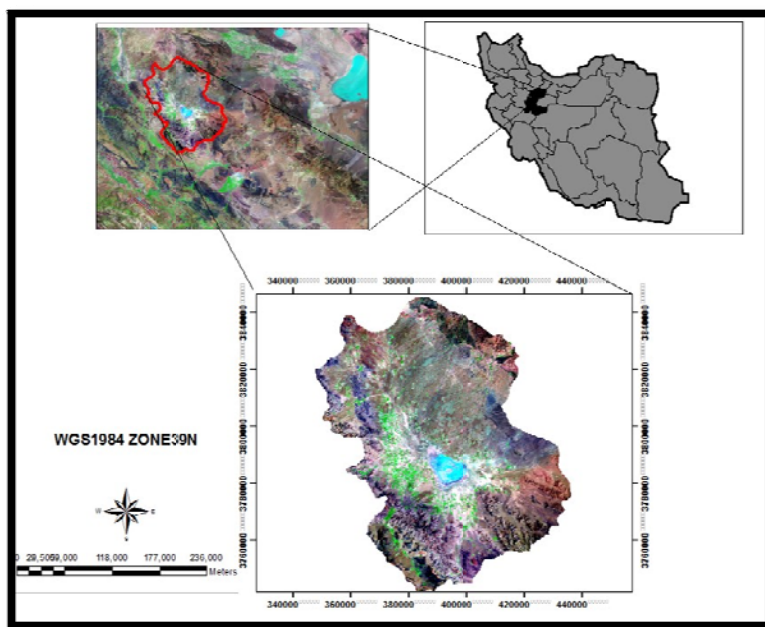
اصلی در شناسایی سنگ‌ها و قهروندی تالی (۲۰۱۰) و گونلو<sup>۱</sup> (۲۰۰۸) نیز از همین روش را در شناسایی تغییرات بسترها رسمی استفاده نموده‌اند. در مورد پلایای میقان به عنوان یکی از مهم‌ترین چشم‌اندازهای ژئومورفولوژیکی، تحقیقی انجام نداده و یا حاصل کار او برای این محقق ناشناخته مانده است. حتی کرینسلی نیز که جامع‌ترین مطالعات را بین سال‌های ۱۹۶۸ تا ۱۹۷۲ انجام داده است، این کویر را تنها از طریق مشاهده عکس‌های هوایی موردمطالعه قرار داده است. در میان محققان ایرانی نیز دکتر علایی طالقانی<sup>۲</sup> (۱۳۷۵) در رساله دکتری خود به مطالعه ژئومورفولوژی کویر میقان پرداخته است. کویر میقان یک پلایا محسوب می‌شود. اهمیت بررسی پلایاها در ایران غیرقابل انکار است. از طرف دیگر واقع شدن کویر میقان در نزدیکی شهر اراک و تأثیر ژئومورفولوژیکی غیرقابل انکار آن بر روی این شهر و دیگر شهرهای مجاور باعث شد تا در این تحقیق، حوضه نامبرده موردمطالعه قرار گیرد. بهطورکلی در این تحقیق ابتدا لندرفمهای شناسایی می‌شوند. سپس فرآیندهای فعال ارزیابی می‌گردند تا قلمروهای مورفوکلیماتیک و مورفوکنتنیک شناسایی شوند. در مرحله بعد با توجه به اشکال غیرفعال و میراث‌های اقلیمی قلمروهای مورفوکلیماتیک در اقلیم‌های آخرین دوره یخ‌بندان، قلمروهای فوق درگذشته تعیین می‌شود و در مرحله آخر بر اساس تغییرات لندرفمهای بررسی می‌شود.

### منطقه موردمطالعه

حوضه اصلی آبخیز کویر مرکزی ایران از ۵ زیر حوضه فرعی قمرود، قره چای، شور (خشک‌رود)، کویر میقان و کویر کاشان تشکیل شده است (ذوالفاری، ۱۳۸۹). حوضه رسمی میقان که علایی طالقانی<sup>۲</sup> (۱۳۷۵) از آن با عنوان دشت اراک یادکرده است، با وسعتی معادل ۵۵۲۸ کیلومترمربع، که ۲۰۰۰ کیلومترمربع آن را دشت و ۳۵۲۸ کیلومترمربع را ارتفاعات مشرف به دشت تشکیل می‌دهد، در مختصات جغرافیایی  $۴۹^{\circ}/۲۹^{\circ}/۲۸^{\circ}$  تا  $۴۹^{\circ}/۲۰^{\circ}/۱۸^{\circ}$  طول شرقی و  $۳۳^{\circ}/۴۸^{\circ}/۳۷^{\circ}$  تا  $۳۴^{\circ}/۱۵^{\circ}/۲۶^{\circ}$  عرض شمالی واقع شده است. این حوضه مشتمل از دریاچه فصلی میقان با مساحتی متغیر تا حداقل ۱۰۶ کیلومترمربع و در رقوم ارتفاعی ۱۶۶۰ متر از سطح دریا، دشت‌های آبرفتی فراهان و اراک، مخروط افکنه‌ها و کوهپایه‌ها است. این حوضه در حدفاصل حوضه‌های آبریز قم و قره چای به‌وسیله کوه‌های کم ارتفاعی که در جنوب، مشرق و شمال آن قرار دارند و مناطق تپه‌ماهوری واقع در غرب حوضه پدید آمده است. کویر میقان با مساحت ۱۳۵ کیلومترمربع سطح نمکی که شامل ۹۴ درصد سطح دریاچه نیز می‌باشد، در ارتفاع متوسط ۱۶۷۵ متری سطح دریا و در ارتفاعات واقع بین البرز و زاگرس، در ۱۵ کیلومتری شمال و شمال شرقی شهرستان اراک در استان مرکزی واقع شده است و تقریباً به صورت مثلث قائم‌زاویه‌ای است که زاویه قائمه آن در جنوب و اضلاع آن در شمال غرب و شمال شرق امتداد یافته‌اند. کویر میقان در  $۴۹^{\circ}/۵۵^{\circ}/۳۱^{\circ}$  تا  $۴۹^{\circ}/۴۶^{\circ}/۲۴^{\circ}$  طول شرقی و  $۰^{\circ}/۵۰^{\circ}/۰^{\circ}/۰^{\circ}/۸^{\circ}/۳۴^{\circ}$  تا  $۳۴^{\circ}/۱۵^{\circ}/۲۶^{\circ}$  عرض شمالی قرار گرفته است. این کویر در چاله یا پلایای میقان با مساحت ۱۴۳ کیلومترمربع و در مرکز حوضه آبخیز میقان قرار گرفته است و توسط کوه‌های نسبتاً مرتفعی احاطه شده است. نزدیک‌ترین شهر به کویر میقان، اراک می‌باشد. اطراف کویر را روستاهایی با فواصل متفاوت نسبت به دریاچه فصلی میقان احاطه کرده‌اند. این کویر از طرف شمال به روستاهای ده نمک، داؤ‌آباد و ویسمه، از غرب به روستاهای میقان، راهزان و طرمزد و جاده اراک – فرمهین، از جنوب به روستاهای امام‌زاده خاتون و از شرق به روستای سهل‌آباد محدود شده است که نزدیک‌ترین آن‌ها، روستای راهزان و ده نمک به فاصله یک کیلومتری از دریاچه می‌باشند(مبارک‌آبادی، ۱۳۸۹). این منطقه در پست‌ترین نقطه حوضه به ارتفاع ۱۶۶۰ متر از سطح دریا می‌رسد. از اسمی دیگر کویر؛ توزلوگل می‌باشد که کرینسلی<sup>۲</sup> (۱۹۷۰) آن را با عنوان چاله میقان نیز معرفی نمود.

<sup>1</sup>-Gunlu

<sup>2</sup>-Krinsely

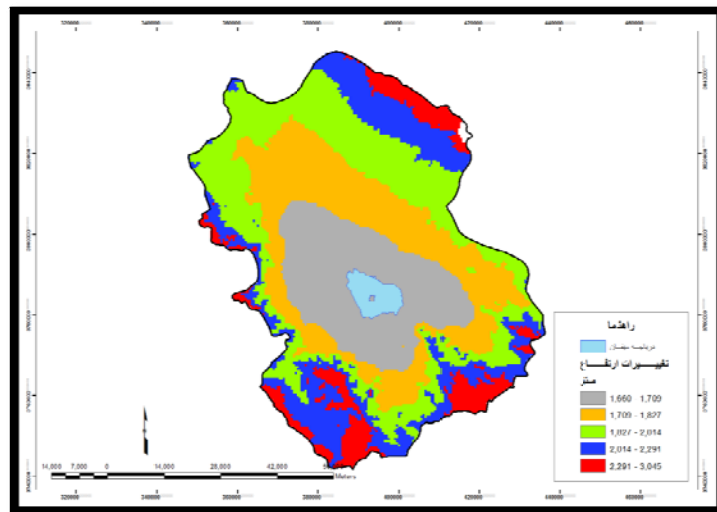


شکل شماره ۱: موقعیت جغرافیایی حوضه و پایای میقان بر روی تصاویر ماهواره‌ای ETM

#### داده و روش تحقیق

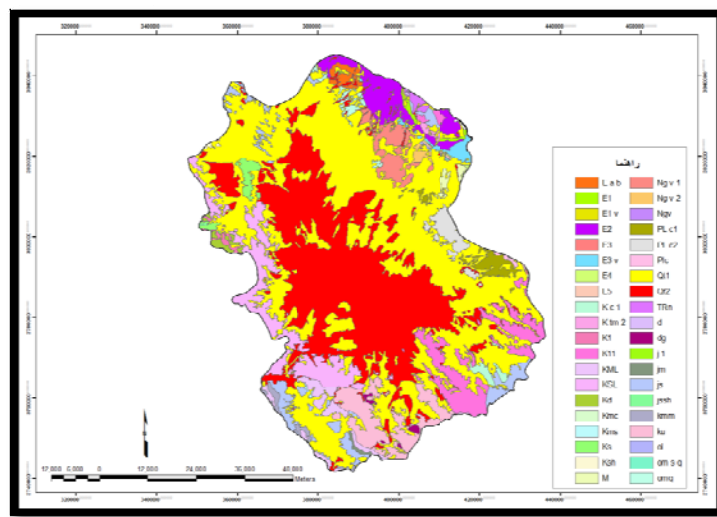
محدوده حوضه آبریز میقان، بر اساس مدل رقومی ارتفاع<sup>۱</sup> و نقشه توپوگرافی در مقیاس ۱:۵۰۰۰۰۰ تعیین شده است.

شکل شماره ۲ تغییرات ارتفاع در حوضه میقان را نشان می‌دهد. داده‌های زمین‌شناسی حوضه، از نقشه زمین‌شناسی ۱:۵۰۰۰۰ برداشت شده است. (شکل ۳)



شکل شماره ۲: تغییرات ارتفاع در حوضه میقان

<sup>۱</sup>-Digital Elevation Model(DEM)



شکل شماره ۳: پراکنش واحدهای زمین‌شناسی در حوضه میقان (برداشت از نقشه زمین‌شناسی ۱:۵۰۰۰۰)

از نظر ساختمان زمین‌شناسی، حوضه میقان از دو واحد بزرگ کوهستانی در حاشیه و دشت رسوی در بخش میانی تشکیل شده است. در نقشه زمین‌شناسی ۱:۵۰۰۰۰ منطقه، حوضه میقان به صورت سیستم گراین دیده می‌شود که در امتداد دو گسل، فروافتاده است. علت بسته شدن و استقلال حوضه، چین خوردن و بالا آمدن نهشته‌های زمان پلیوسن حاشیه شرق حوضه و هم‌زمان فروافتادن دشت میانی در اثر جنبش اصلی رخداد تکتونیکی پاسادینین در عهد پلیستوسن (۷۰۰ هزار سال قبل) می‌باشد. امتداد طبقات و گسل‌های عمدۀ حوضه، موازی با محور اصلی زمین ساختی حاشیه در جهت جنوب شرقی - شمال غربی می‌باشند. این پدیده‌ها انعکاس جابجایی پلاتفرم‌های عربستان از جنوب غرب و سیری از شمال شرق را نشان می‌دهند. رویداد بعد از فاز زمین ساختی پاسادینین در حوضه آبریز میقان با شروع یک فاز فرسایشی در پلیستوسن مشخص می‌باشد. تنه‌نشسته‌های این دوره شامل آبرفت‌های قدیمی، آبرفت‌های جوان، کفه‌های رسی و نمکی می‌باشند که سطح نسبتاً پهناوری از حوضه را فراگرفته‌اند.

روش کار

برای به دست آوردن تغییرات سطح دریاچه در کواترنری، از روش تحلیل مؤلفه‌های اصلی (PCA) مبتنی بر ماتریس همبستگی استفاده شد. در این روش، هدف شناسایی سطوحی بود که بر اثر تغییرات کانی به وجود آمده بودند. به این منظور، داده‌های ۶ باند انعکاسی از تصویر<sup>+</sup> ETM<sup>TM</sup> در ابعاد ۱۹۹۷ × ۲۸۱۴ پیکسل و در اندازه سلول ۳۰ متر، مربوط به نیمه گرم سال که میزان رطوبت کمتر است موربدرسی قرار گرفت. برای افزایش تفکیک مکانی ابتدا با تصویر باند پانکروماتیک همان سنتجنده، با ابعاد پیکسل ۱۵ متر ترکیب شدند. سپس ماتریس همبستگی آن‌ها محاسبه شد. جدول شماره ۱ ضرب همبستگ، بین درجه دوشنامه، باندها را نشان، می‌دهد.

بیشترین همبستگی که معادل ۹۶۹۹٪ می‌باشد بین باندهای ۱ و ۲ از تصویر ETM است. به طور کلی بین باندهای ETM1,ETM2,ETM3 همبستگی قوی وجود دارد و همچنین باندهای ETM3 با ETM5 و ETM5 با ETM7 نیز همبستگی دارند که اولاً از تکرار اطلاعات حکایت می‌کند، در ثانی این تکرار در باندهای مجاور بیشتر است. (جدول شماره ۱) مؤلفه‌های ۶ گانه مبتنی بر باندهای ۱ تا ۷ سنجنده ETM (به استثنای باند ۶) محاسبه شد و سهم هریک از PC از کل تغییرات تحت عنوان درصد واریانس (یا مقدار ویژه<sup>۳</sup>) مورد مقایسه قرار گرفت. نتایج

1-Enhanced Thematic Mapper

## <sup>2</sup> Merge Resolution

## Merge Resol <sup>3</sup>-Eigen Value

به دست آمده جدول شماره ۳ نشان می‌دهد که هرچه PC در مراتب پایین‌تری قرار گیرد، اطلاعات کمتری را دارد است. ۹۹/۲۷ درصد از واریانس در سه PC اولیه قرار می‌گیرد. (جدول شماره ۲)

جدول شماره ۱: ماتریس همبستگی<sup>۱</sup> شش باند انعکاسی ETM

	ETM1	ETM2	ETM3	ETM4	ETM5	ETM7
ETM1	۱					
ETM2	۰.۹۶۹۹	۱				
ETM3	۰.۸۸۶۸	۰.۹۶۱۳	۱			
ETM4	۰.۶۴۴۱	۰.۷۰۵۹	۰.۶۶۶۵	۱		
ETM5	۰.۴۳۹۰	۰.۶۰۱۵	۰.۷۱۵۸	۰.۶۳۴۵	۱	
ETM7	۰.۳۵۰۱	۰.۵۲۱۲	۰.۶۶۹۱	۰.۴۳۵۶	۰.۹۵۱۴	۱

جدول شماره ۲: ضرایب بردارهای ویژه(λ) برای باندهای انعکاسی در PC ها

	ETM1	ETM2	ETM3	ETM4	ETM5	ETM7	Eigenvector	Variances %
PC1	0.2427	-0.2112	0.3939	-0.6801	0.0859	-0.5208	849.6993	85.88
PC2	0.3213	-0.1488	0.3864	-0.2413	-0.0047	0.8166	74.9098	7.57
PC3	0.4849	0.0334	0.5270	0.6403	-0.1247	-0.2456	57.6234	5.82
PC4	0.4719	-0.6820	-0.5152	0.1253	0.1737	-0.0281	4.8340	0.04
PC5	0.4717	0.3808	-0.3535	-0.2251	-0.6755	-0.0194	1.7484	0.01
PC6	0.3967	0.5673	-0.1650	-0.0524	0.7003	0.0139	0.4913	0.004

برای اینکه تحلیل فوق با دقت بالاتری انجام شود، مشابه عملیات مذکور را بر روی تصاویر IRS- III<sup>۱</sup> با ابعاد پیکسل ۲۷ متر و ۴ باند انعکاسی نیز اجرا شد. ابتدا باندها ترکیب شدند. سپس ماتریس همبستگی بین باندها محاسبه شد. جدول شماره ۳ همبستگی بین باندهای IRS را نشان می‌دهد. این همبستگی بین باندهای ۱ و ۲ یعنی سبز و قرمز قوی می‌باشد. مؤلفه‌های ۴ گانه در این تصاویر تهیه شد. (جدول شماره ۴) که ۹۹/۰۷ درصد واریانس، در PC1 و PC2 و PC3 متمرکز شده است. نتایج تحلیل در تصویر IRS سه سطح را استخراج نمود.

جدول شماره ۳: ماتریس همبستگی<sup>۲</sup> چهار باند انعکاسی IRS (LISS- III)

	IRS1	IRS2	IRS3	IRS4
IRS1	۱			
IRS2	۰.۹۵۶۹	۱		
IRS3	۰.۶۷۹۰	۰.۶۶۵۱	۱	
IRS4	۰.۷۸۵۸	۰.۸۴۹۶	۰.۷۴۳۶	۱

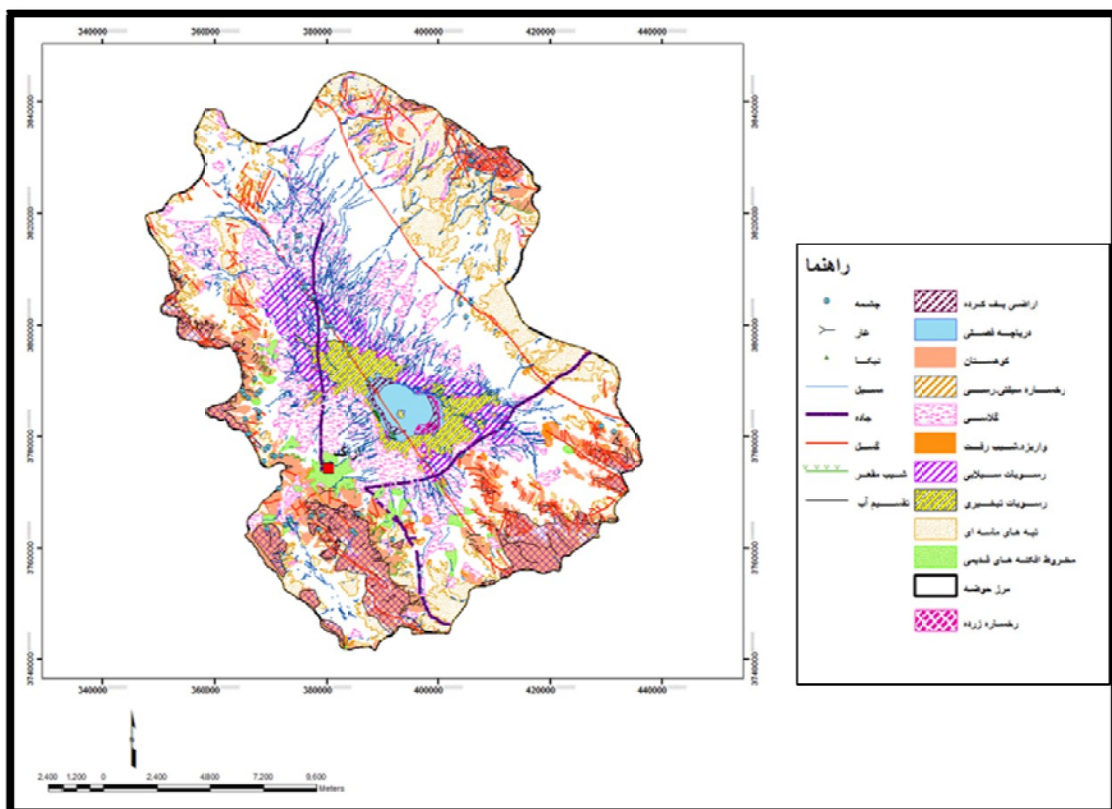
<sup>۱</sup>- Correlation Matrix<sup>۲</sup>- Linear Imaging Self - Scanning<sup>۳</sup>- Correlation Matrix

جدول شماره ۴: ضرایب بردارهای ویژه (λ) برای باندهای انعکاسی تصویر LISS (IRS)

	IRS1	IRS2	IRS3	IRS4	Eigenvector	Variances%
PC1	.۰۵۲۰۹	.۰۲۹۰۸	-.۰۴۷۳۶	.۰۵۴۷۸	۶۹۳.۰۳۷	۸۴.۹۴
PC2	.۰۵۴۵۶	.۰۴۰۲۳	.۰۰۷۵۳	-.۰۵۴۴۶	۹۰.۳۵۳	۱۱.۰۷
PC3	.۰۴۴۱۱	-.۰۸۶۳۵	-.۰۲۱۱۷	-.۰۱۲۱۹	۲۵.۰۲۳	۳.۰۶
PC4	.۰۳۴۲۲	-.۰۰۰۸۶	.۰۸۵۱۵	.۰۳۸۷۰	۷.۴۶۷	۰.۹۱

### یافته‌های تحقیق

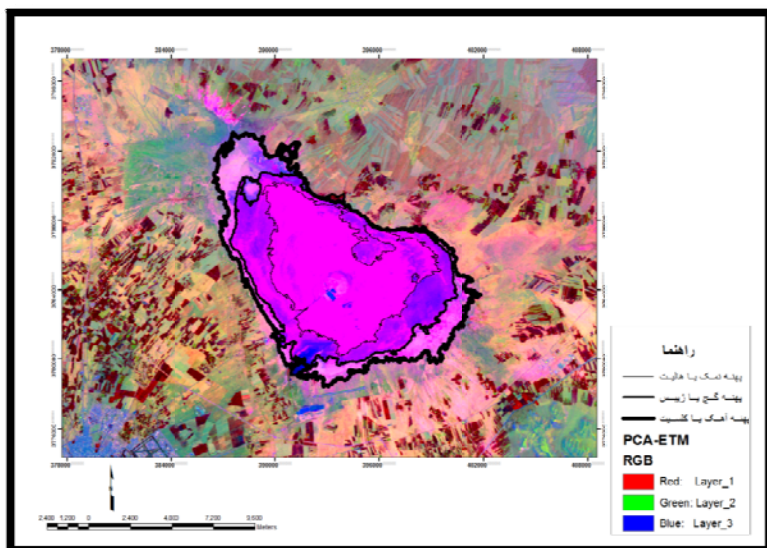
از روی تصاویر ماهواره‌ای منطقه، خطواره‌های زیادی در حوضه میقان، قابل‌شناختی می‌باشند. وجود سه خطواره که منطبق بر سه ضلع مثلثی شکل کویر میقان می‌باشند، نشان می‌دهد که این کویر احتمالاً در امتداد سه گسل، فروافتاده است. (شکل شماره ۴) لیکن دو گسل تلخاب و تبرتہ در محدوده کویر میقان و احتمالاً فعال شدن گسل تلخاب در اثر عملکرد جنبش پاسادینین، مانع از آن شد تا این بخش از حوضه رسوی نیز هم تراز حاشیه کوهستانی بالا بیاید و درنتیجه انعکاس متفاوت بخش میانی (ماین دو گسل تبرتہ و تلخاب) و بخش حاشیه‌ای حوضه در مقابل تکتونیک پاسادینین به صورت بالاًمدگی حاشیه و فروافتادگی بخش میانی جلوه‌گر می‌شود که پیامد آن شکل‌گیری و استقلال حوضه رسوی میقان و درنهایت ایجاد کویر میقان در مرکز آن در ابعاد امروزی گردید.



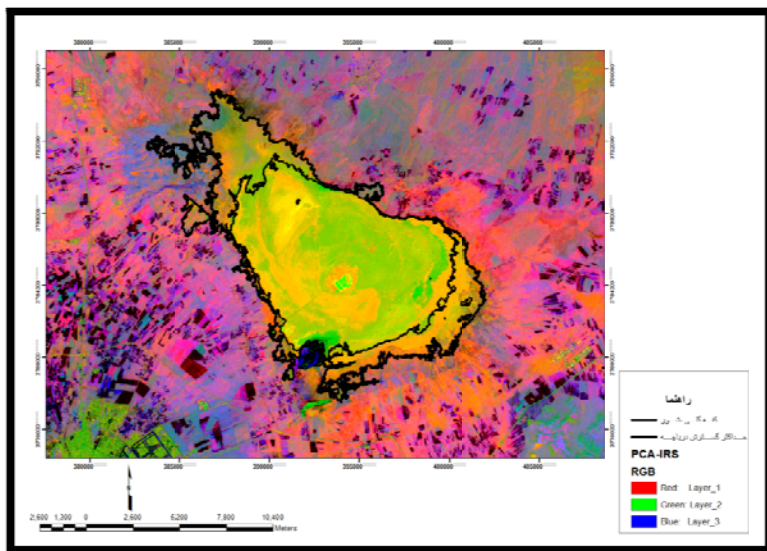
شکل شماره ۴: نقشه ژئومورفولوژی حوضه میقان

نتایج تحلیل در تصویر  $ETM^+$ ، سه سطح را استخراج نمود که یک سطح آن (سطح درونی) متعلق به  $PC2$  و دو سطح آن (سطح میانی و بیرونی) مربوط به  $PC3$  بوده است. (شکل شماره ۵) سطوح به دست آمده به ترتیب از درون به بیرون با مناطق نمکی (زیر محیط پهنه شور)، گچی (زیر محیط پهنه گلی - شور) و آهکی (زیر محیط پهنه گلی - خشک) پلایای میقان هم‌خوانی دارند. مساحت هریک از سطوح به دست آمده در هر دو تصویر در محیط GIS محاسبه

گردید و نتایج، حاکی از آن بودند که ۵۲ کیلومتر از سطح پلایای میقان در منطقه نمکی، ۴۰ کیلومترمربع در پهنه گچی و ۲۷ کیلومترمربع آن در محدوده آهکی قرار دارد. سطح گچی در هر دو تصویر کاملاً باهم مطابقت دارد. همچنین از تصویر IRS نیز دو سطح استخراج شد که سطح بیرونی متعلق به PC2 و سطح درونی متعلق به PC3 بوده است. (شکل شماره ۶) سطح بزرگ‌تر احتمالاً بیشترین گسترش دریاچه را در کواترنری نشان می‌دهد که بر اساس آن دریاچه مساحتی بالغ بر ۱۲۹ کیلومترمربع داشته است.



شکل شماره ۵ در تصویر PCAI: ETM



شکل شماره ۶ در تصویر PCAI: IRSPCAI

بر اساس نوع سنگ‌های تشکیل‌دهنده این حوضه، کانی‌های تبخیری به صورت محلول وارد این دریاچه می‌شدن. بخش مهم آن، کانی کلسیت از سنگ‌های آهکی و کانی ژیپس و نمک بود؛ لذا در دوره‌های گرم که میزان تبخیر بیش از آب‌های وارده به این دریاچه می‌باشد، شوری دریاچه افزایش می‌یابد و کانی‌های تبخیری به صورت پلایا متحول می‌شوند. چون در اثر افزایش تبخیر ابتدا کانی‌هایی مانند کربنات کلسیم که انحلال‌پذیری کمتری دارند رسوب می‌کنند؛ بنابراین بزرگ‌ترین سطحی که از مؤلفه اصلی تصویر  $ETM^+$  به دست آمده، می‌تواند محدوده رسوب کانی کلسیت باشد. (شکل شماره ۷) نمونه‌های برداشت شده نیز بیانگر وجود سطح آهکی بوده است. (موفق، ۱۳۷۸) با استمرار اقلیم خشک و با

افزایش تبخیر، کانی‌ها بر اساس میزان حلالیت خود رسوب می‌کنند. کانی ژیپس که درجه حلالیت بیشتری نسبت به کربنات کلسیم دارد، با افزایش خشکی در دریاچه میقان رسوب نموده، نمونه‌های برداشت شده میزان کانی ژیپس را در محدوده ای نشان می‌دهد که از  $PC2$  در تصویر  $ETM^+$  و  $PC3$  در تصویر  $IRS$  به دست آمده است. (شکل شماره ۷) ادامه خشکی سبب می‌شود که کلرورها بسترها نمکی را تشکیل دهنند. (شکل شماره ۷) این پدیده در حال حاضر در آبهای دریاچه میقان دیده می‌شود و در مرکز دریاچه به صورت محلول است. در سال‌های خشک‌تر محدوده آب کوچک‌تر و زون نمکی گسترش می‌یابد.



شکل شماره ۷: به ترتیب از سمت چپ به راست؛ پهنه نمک (زون کلروره)، پهنه ژیپس (زون سولفاته)، پهنه آهک (زون کربناته)

### تحلیل ژئومورفولوژیکی سطوح استخراج شده پهنه نمکی (هالیت)

از دیدگاه ژئومورفولوژیکی این پهنه با بخشی از پلایا انطباق دارد که شبی ناچیزی دارد و رسوبات در آن، سطح سخت و غیرقابل نفوذی را به وجود می‌آورند، بطوریکه با هر جریان به ضخامت آن‌ها اضافه می‌گردد. در این پهنه به علت تبخیر شدید و در اثر رشد بلور در پوسته، اشکال چندوجهی ایجاد می‌شود که لبه آن‌ها در اثر کشش پوسته به طرف بالا خمیده می‌شود. (شکل شماره ۸) این کشیدگی، بیشترین مقدار خود را در پوسته هالیت دارد. تبخیر شورابه‌های زیرسطحی در طول شکستگی‌های چندوجهی باعث رسوب پوسته‌های شوره‌زده ریزدانه‌ای می‌شود که ترک‌ها را عریض می‌کنند. دریاچه میقان در این پهنه قرارگرفته است و در بازدیدهای میدانی داغ آبهای نمکی در اطراف آن مشاهده گردید. پهنه شور پلایای میقان به عنوان پست‌ترین بخش این حوضه رسوبی، منطقه‌ای است که در فصول خشک با لایه‌هایی از نهشته‌های تبخیری، پوشیده می‌شود و در فصول مرطوب به صورت دریاچه فصلی و شور درمی‌آید. این زیر محیط در اطراف، توسط کفه گلی – شور که با پوششی از پوسته‌های نمکی شوره‌زده<sup>۱</sup>، مشخص است، احاطه می‌شود. نهشته‌های پهنه شور در منطقه موردمطالعه، اغلب دارای لایه‌بندی ظریف هستند که در آن‌ها، پوسته‌های تبخیری<sup>۲</sup>، توسط سطوح انحلالی یا لایه‌های ظریف گل از هم جدا می‌شوند. پوسته‌های تبخیری از کانی‌های ژیپس ( $\text{CaSO}_4 \cdot 2\text{H}_2\text{O}$ )، هالیت ( $\text{NaCl}$ )، تnardیت ( $\text{Na}_2\text{SO}_4 \cdot 10\text{H}_2\text{O}$ )، میرابلیت ( $\text{Na}_2\text{SO}_4 \cdot \text{Na}_2\text{SO}_4$ ) و کلسیت ( $\text{CaCO}_3$ )، تشکیل شده‌اند. کانی بلودیت ( $\text{Na}_2\text{SO}_4 \cdot \text{MgSO}_4 \cdot 4\text{H}_2\text{O}$ ) به مقدار کم در این منطقه گزارش شده است (موفق، ۱۳۷۸).

<sup>1</sup> -Efflorescent salt crusts

<sup>2</sup> -Evaporite Crusts



شکل شماره ۸: اشکال چندوجهی با لبه‌های برجسته در کویر میقان

**پهنه گچی(ژیپس)**

از نظر ژئومورفولوژیکی در این بخش از پلایا درنتیجه نیروی موئینه و عمل تبخیر و بالا آمدن گل به همراه نمک، ناهمواری‌های خاصی در سطح پلایا ایجاد می‌شود. رخساره‌های ژئومورفولوژیکی بسیار مشخص در این کفه عمدتاً شامل پوسته‌های شورهزاده (شکل شماره ۹) و ترک‌های چندوجهی به صورت اشکال چادر سرخپوستی<sup>۱</sup> (شکل شماره ۹) می‌باشند. اراضی پف‌کرده نیز در این منطقه جای دارند. مشاهده نشدن پوشش گیاهی از مشخصه‌های بارز این محدوده از پلایای میقان می‌باشد. این پهنه در پلایاهای به کفه گلی- خشک نیز مشهور است. در پلایای میقان، این کفه در مجاورت پهنه شور و به صورت حلقه‌ای در اطراف آن قرار دارد. کفه مذکور، شامل رسوبات رسی دانه‌ریز می‌باشد که دارای خاصیت پلاستیکی هستند و باعث استحکام ماسه‌های گل‌دار ریز<sup>۲</sup> موجود در محل (که به مقدار خیلی کم وجود دارند) و اتصال آن‌ها به یکدیگر می‌شوند. این کفه همچنین دارای کانی‌های تبخیری درون رسوبی<sup>۳</sup> و پوسته‌های نمکی شورهزاده سطحی است که بیشتر از آب‌های شور زیرزمینی حاصل شده‌اند. بیشترین کانی موجود در این پهنه ژیپس می‌باشد. (مهاجرانی، ۱۳۷۸)



شکل شماره ۹: به ترتیب از چپ به راست؛ پوسته‌های شورهزاده و اشکال چادر سرخپوستی

**پهنه آهکی (کلسیت)**

در این مناطق از نظر ژئومورفولوژی، فعالیت باد زیاد است و ناهمواری‌هایی همراه با رسوبات بادی در این بخش از پلایا به فراوانی مشاهده می‌شود. فرسایش بادی در منطقه‌ای که داوود آباد، ایک آباد، مراد آباد و عباس آباد چهار ضلع آن را تشکیل می‌دهند به حدکثر می‌رسد (مهندسين مشاور تاک سبز، ۱۳۸۹). نیکاها و تپه‌های ماسه‌ای از دیگر واحدهای ژئومورفولوژیکی این بخش‌اند (شکل شماره ۱۰). مخروط افکنه‌های قدیمی (مانند مخروط افکنه فراهان نیز در حاشیه این زون جای گرفته‌اند. این پهنه در کویر میقان با کفه گلی- خشک کاملاً مطابقت دارد. در کویر میقان، این کفه با

<sup>1</sup>-Tepee<sup>2</sup> -Muddy Sand<sup>3</sup> -Intra Sediment

گسترده‌گی قابل ملاحظه، در حاشیه بیرونی کفه گلی - شور و به صورت حلقه‌ای آن را احاطه نموده است. سطح آب زیرزمینی در این کفه به قدری پایین است که در ایجاد کانی‌های تبخیری، نقشی ایفا نمی‌کند. کانی کلسیت بیشترین سطح را در این پهنه پوشش داده است. (زمانی، ۱۳۷۸)



شکل شماره ۱۰: به ترتیب از چپ به راست؛ نبکا در کویر میقان و تپه ماسه‌ای در شرق روستای ده نمک گسل تبرتله از هر سه پهنه نامبرده عبور کرده است و باعث شکست کف دریاچه میقان گردیده است. آبدهی بالای چاهها و چشممه‌های انجдан (که در مسیر گسل قرار گرفته‌اند) شاهدی بر این امر است. به منظور صحت سنجی نتایج حاصل از تحلیل تصاویر ماهواره‌ای محقق از آنالیزهای ژئوشیمی که در سال‌های پیش توسط سازمان صنایع و معادن شهرستان اراک به انجام رسیده است، کمک گرفت. بر اساس نتایج آنالیزهای سازمان صنایع و معادن شهرستان اراک (۱۳۷۸) می‌باشد (جداول ۵ و ۷)، تعدادی از نمونه‌ها نیز توسط محقق در بازدید میدانی به کمک دستگاه GPS برداشت شده است (شکل شماره ۱۱).

جدول شماره ۵: نتایج آنالیزهای نمونه‌های گمانه شماره ۱ تا ۴

عمق نمونه (متر)	آنالیز شیمی						میزان کانی از زیاد به کم
	درصد سدیم	درصد سولفات	درصد کلر	درصد کلسیم	درصد پتاسیم	درصد منیزیم	
۱.۷-۲.۵	۵.۱۷	۴۲	۳.۴۵	۲۱.۸	۰.۱۴	۱.۷۴	ژیپس، هالیت، همی‌هیدریت، گلوبریت، کوارتز

منبع: (موفق، ۱۳۷۸)

جدول شماره ۶: نتایج آنالیزهای نمونه‌های گمانه شماره ۲ تا ۴

عمق نمونه (متر)	آنالیز شیمی						میزان کانی از زیاد به کم
	درصد سدیم	درصد سولفات	درصد کلر	درصد کلسیم	درصد پتاسیم	درصد منیزیم	
۱.۵-۲.۵	۱۴.۱۵	۳۸.۱	۲.۹۷	۲۱.۳	۰.۱۷	۲.۱۴	ژیپس، هالیت، سولفات منیزیم آبدار، کلرید منیزیم و کلسیم

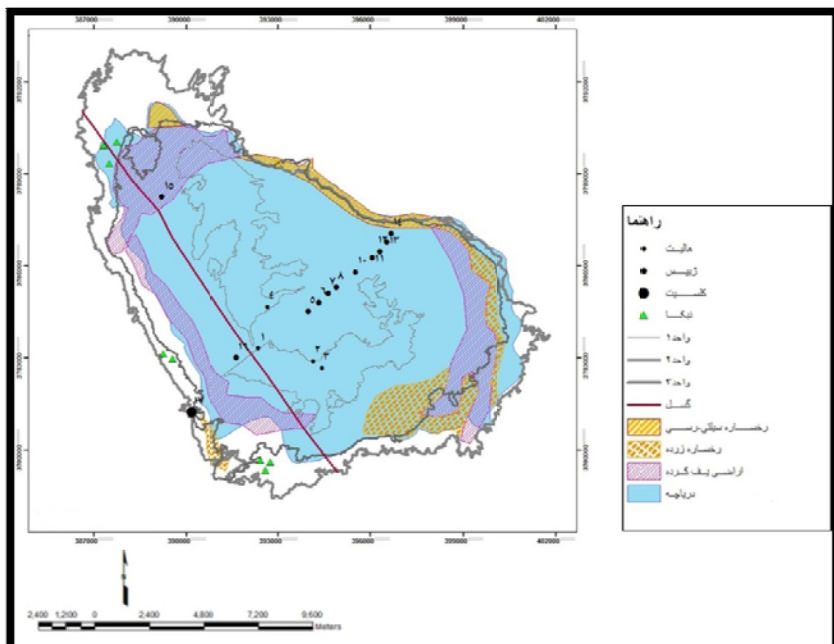
(موفق، ۱۳۷۸)

جدول شماره ۷: نتایج آنالیزهای نمونه‌های گمانه شماره ۵ تا ۱۴

عمق نمونه (متر)	آنالیز شیمی						میزان کانی از زیاد به کم
	درصد سدیم	درصد سولفات	درصد کلر	درصد کلسیم	درصد پتاسیم	درصد منیزیم	
۱.۵-۲.۵	-	-	-	-	-	-	ژیپس، کوارتز، هماتیت

(موفق، ۱۳۷۸)

در منطقه موردمطالعه، زون آهکی عمدتاً حاوی کانی‌های کلسیت، ژیپس، هالیت، گلوبریت، بازانیت، کوارتر و مسکویت می‌باشد. وجود کانی‌های دولومیت، کلریت و ایلیت نیز در منطقه گزارش شده است.(زمانی، ۱۳۷۸) نمونه‌های ۱۵، ۱۶ و ۱۷ نیز در بازدید میدانی توسط محقق مشاهده شدند. نمونه شماره ۱۵ مربوط به سطوح اراضی پهنه‌ای (واقع در زون سولفاته) بوده است.(شکل ۳-۳) نمونه شماره ۱۶ با املاح سولفات سدیمی که توسط کارخانه املاح ایران مورد استخراج قرار گرفته‌اند، مطابقت داشت و درنهایت، نمونه شماره ۱۷، اراضی آهکی اطراف روستای طرمzed بوده است.



شکل شماره ۱۱: موقعیت نمونه‌های موجود، بر روی سطوح استخراج شده از تصاویر ماهواره‌ای پلایای میقان

#### نتیجه‌گیری

دریاچه‌های موجود در حوضه‌های مرکزی ایران، شواهد اقلیمی کواترنری را در خود ثبت کرده‌اند. در دوران سرد که با افزایش بارش و کاهش تبخیر مواجه بودند، شواهد را به صورت پادگانه‌های مطبق و بسترهاي سیلابی نگه‌داشته‌اند که بیانگر گستردگی این دریاچه‌ها در دوران مطلوب‌تر است. در دوران گرم با افزایش تبخیر و کاهش باران، کانی‌های محلول رسوب می‌نماید و پهنه‌های سخت از تجمع کانی‌های تبخیری را ایجاد می‌نمایند که شواهد دوره‌های گرم است. دریاچه میقان حوضه‌ای به مساحت ۵۵۲۸ کیلومترمربع را زهکشی می‌کند در این پژوهش، تحلیل مؤلفه‌های اصلی برای شناسایی سطوح ناشی از تحولات اقلیمی در تصویر IRS با تفکیک مکانی ۲۳/۵ متر و تفکیک طیفی ۴ باند انعکاسی انجام شد و سه مؤلفه اول با دارا بودن ۹۹/۰۷ درصد واریانس، دو سطح از گسترش دریاچه را نشان داد که با توجه به مشاهدات میدانی و نقشه‌های توپوگرافی و زمین‌شناسی، سطح بزرگ‌تر با پهنه‌های رسوبی مطابقت داشت که می‌تواند حداقل گسترش دریاچه را در آخرین دوره سرد یا یخچالی نشان دهد(شکل ۴). سطح کوچک‌تر به دست آمده از مؤلفه سوم با بخشی از رسوبات تبخیری کنار دریاچه مطابقت دارد که مشاهدات میدانی بخشی را با حداقل تجمع کانی ژیپس نشان داد (شکل ۶). مشاهدات میدانی علاوه بر رسوب ژیپس، پهنه‌هایی با تجمع غالب کانی‌های کلسیت و هالیت را در اطراف دریاچه نشان داد که برای بررسی دقیق‌تر آن، تحلیل مؤلفه‌های اصلی در تصویر  $ETM^+$  با تفکیک مکانی ۱۵ متر و تفکیک طیفی ۶ باند انعکاسی، انجام شد و سه مؤلفه اول با ۹۹/۲۷ درصد واریانس، سطوح مختلفی در پلایای میقان، نشان داد که بزرگ‌ترین سطح آن با گسترش کانی غالب کلسیت مطابقت دارد (شکل شماره ۷). این سطح می‌تواند بیانگر آخرین دوره سرد باشد که بارش از زمان حال بیش‌تر بوده و یا دما نسبت به زمان حاضر کاهش داشته است. بنابراین تحولات ژئومورفولوژیکی پلایای میقان بدین صورت بوده است که ابتدا با ترسیب آهک و هم‌زمان با گرم و

خشک شدن اقلیم، تپه‌های ماسه‌ای و نبکاه، همچنین مخروط افکنه های قدیمی (مانند مخروط افکنه فراهان نیز در این زون شکل گرفتند. با ادامه خشکی و رسوب ژیپس، رخساره‌هایی هم چون پوسته‌های شوره‌زده، ترک‌های چندوجهی به صورت اشکال چادر سرخپوستی، همچنین اراضی پفر کرده در کویر میقان، ظاهر شدند. مشاهده نشدن پوشش گیاهی از مهم‌ترین ویژگی این محدوده از پلایای میقان می‌باشد. با حرکت به سمت سال‌های خشک‌تر، املاح تبخیری ریزدانه‌تر مانند نمک به صورت هاله‌ای اطراف دریاچه میقان رسوب می‌نمایند که در حال حاضر نیز تنها در سال‌های خشک، قابل ملاحظه است. در این حالت به علت تبخیر شدید و در اثر رشد بلور در پوسته، اشکال چندوجهی ایجاد می‌شود که لبه آن‌ها در اثر کشش پوسته به طرف بالا خمیده می‌شود. این کشیدگی، بیشترین مقدار خود را در پوسته هالیت دارد. تبخیر شورابه‌های زیرسطحی در طول شکستگی‌های چندوجهی باعث رسوب پوسته‌های شوره‌زده ریزدانه‌ای می‌شود که ترک‌ها را عریض می‌کنند. در حال حاضر، دریاچه میقان در این پهنه قرارگرفته است و در بازدیدهای میدانی نیز، داغ آب‌های نمکی در حاشیه آن مشاهده گردید. قابل ذکر است؛ مقایسه سطوح استخراج شده از تصاویر ماهواره‌ای منطقه با آزمایش‌های ژئوشیمی رسوبات منطقه که در سال‌های قبل توسط سازمان صنعت و معدن شهرستان اراك برداشت شده بود همخوانی داشت.

#### منابع

- زمانی ، فاطمه . . . ۱۳۷۸. رسوب‌شناسی حوضه تبخیری دریاچه میقان اراك با نگرشی ویژه بر تأثیر این حوضه بر آب‌های منطقه ، پایان‌نامه کارشناسی ارشد، دانشگاه شهید بهشتی.
- ذوالفاری، مرتضی، هاشمی، محمدناصر، و حیدری، مریم، ۱۳۸۹. بررسی تغییرات مکانی بارندگی و حجم نزولات جوی در حوضه آبخیز کویر میقان، مجموعه مقالات دومین همایش تالاب‌های کویری ایران، دانشگاه آزاد اسلامی امیرکبیر، اراك.
- کریم پور ریحان، مجید، مشهدی، ناصر، و علوی پناه، کاظم. ۱۳۸۴. بررسی رابطه رخساره‌های ژئومورفولوژی و خصوصیات فیزیکوشیمیایی با رده بندی خاک در حاشیه پلایای سمنان، مجله بیابان، جلد ۷، شماره ۲. کرینسلی، دنیل، ۱۹۷۰. کویرهای ایران و خصوصیات ژئومورفولوژیکی و پالئوكlimاتولوژی آن، ترجمه عباس پاشایی، چاپ دوم، سازمان جغرافیایی نیروهای مسلح.
- علایی طالقانی، محمود، ۱۳۷۵. ژئومورفولوژی و عمران ناحیه‌ای دشت اراك، رساله دکتری، دانشگاه تهران.
- علوی پناه ، کاظم، احسانی، امیرهوسنگ، و امیدی، پرویز، ۱۳۸۳. بررسی بیابانزایی و تغییرات اراضی پلایای دامغان با استفاده از داده‌های ماهواره‌ای چند زمانه و چند طیفی، مجله بیابان، جلد ۹، شماره ۱.
- امجد یزدان دوست، سیحان، ۱۳۹۲. تلفیق داده‌های ماهواره‌ای و هیدرولوژیکی جهت تعیین گستردگی پلایای میقان اراك و تأثیر بر آب‌های زیرزمینی، پایان‌نامه کارشناسی ارشد، دانشگاه علم و صنعت اراك.
- مبارک‌آبادی، آزاده، ۱۳۸۹. ژئومورفولوژی کویر میقان، پایان‌نامه کارشناسی ارشد، دانشگاه طبرستان، چالوس.
- مهندسین مشاور تاک سبز. طرح بازنگری کانون‌های بحرانی فرسایش بادی کشور، وزارت جهاد کشاورزی، ۱۳۸۹.
- موفق، ایرج. طرح اکتشاف املاح تبخیری در روستای طرمذ اراك فاز ۱، وزارت معادن و فلزات، اداره کل معادن و فلزات استان مرکزی، ۱۳۷۸.

- Bishta, A.Z.,(2009).. *Assessing Utilization of Multi-Resolution Satellite Imageries in Geological Mapping, A Case Study of JabalBani Malik Area, Eastern Jeddah City Kingdom of Saudi Arabia, Earth Sci., Vol. 21, No. 1, pp: 27-52.*

- Bishta, A.Z. (2005), *using selective image processing techniques of Landsat-7 data in structural lineaments interpretation of Esh El Mellaha range, North Eastern Desert, Egypt, The fourth International Symposium on Geophysics, Tanta University, and Tanta, Egypt.*
- Blas,L., Garsea,V., Delgado -Huertas ,A., Navasa,A., Machiana,J., GonzaaLez-Sampe,p., Riz,A., and Kelts,K.,(2000).*Quaternary palaeohydrological evolution of a playa lake :SaladaMediana, central Ebro Basin, Spain.* journal of Sedimentology ,NO 47, p. 1135 -1156.
- Brookes. A., (1982): *Iran A.Geomorphological evidence for climatic change in Iran during the last 20000 year .Bar international series 133.*
- Castaneda, C., Herrero,J., Casterad,A.,(2005). *Landsat monitoring of playa-lakes in the Spanish Monegros desert, Journal of Arid Environments*, p. 63 497–516.
- Fubelli,G.,Bekele Abebe.F.,Dramis,S.,(2008).*Vinci.Geomorphological evolution and present-day processes in the DessieGraben (Wollo ,Ethiopia).*journal of Catena,NO 75,p. 28-37.
- GhahroudiTali M., (2010), *Assessment of Climate Change in Southern Caspian Sea (Khazar Sea), Climate and Water Balance Changes in the Caspian Region ,Astrakhan, Russian Federation*, 19-20.
- Günlü,A., Sivrikaya, F., Baskent, E. Z., Keles, S., Çakir; G., Kadiogullari, A. D(2008), *Estimation of Stand Type Parameters and Land Cover Using Landsat-7 ETM Image: A Case Study from Turkey*, Sensors 2008, 8, 2509-2525.
- Gutierrez-Elorza,M.,Desir,G.,GutierrezSantolalla,F.,Marin,S.,(2005), *Origin and evolution of playas and blowouts in the semiarid zone of Tierra de Pinares(Duero Basin ,Spain)*.journal of Geomorphology, No 72.p. 177-192.
- Krinsely,D.,(1970).*A Geomrphological and Paleoclimatological study of the playas of iran .PHD,Final Report Thesis,Air Force Cambridge Research Labs.*
- Mostafa, M.E. and Bishta A.Z. (2004),*Significiance of lineament patterns in rock unit classification and designation: A pilot study on the Gharib-Dara area, northern Estern Desert, Egypt, International Journal of Remote Sensing”, 26(7): 1463-1475.*
- Ortega-Ramírez, J., Maillol,M., Bandy,W.,Valiente-Banuet,A.,Urrutia Fucugauchi,J., Mortera-Gutiérrez,G.A., Medina-Sánchez,J., and Chacón-Cruz, GJ.,(2004)*Later Quaternary evolution of alluvial fans in the Playa, El Fresnal region, northern Chihuahua desert, Mexico:Palaeoclimatic implications*.journal of GeofísicaInternacional ,Vol. 43, Num. 3, p. 445-466.
- Rizzeto,F.,Tosi,L.,Bonardi,M.,Gatti,P.,Fornasiero,A.,Gambolati,G.,Putti,M.,AndTeatini. P., (2001). *Geomorphological evolution of the southern catchment of the Venice Lagoon (ITALY): The Zennier Basin*, Scientific research and safeguarding of Venice.